

## ДОДАТОК А

### Програмна реалізація апаратної частини

```
#include <Wire.h>
#include <SoftwareSerial.h>
#include <GyverButton.h>
#include "I2Cdev.h"
SoftwareSerial BTserial(2, 3);

const int MPU = 0x68; // MPU6050 I2C address
float AccX, AccY, AccZ;
float GyroX, GyroY, GyroZ;
float accAngleX, accAngleY, gyroAngleX, gyroAngleY, gyroAngleZ;
float roll, pitch, yaw;
float AccErrorX = 0.6;
float AccErrorY = -3.12;
float GyroErrorX = -2.23;
float GyroErrorY = 2.39;
float GyroErrorZ = 0.66;
float elapsedTime, currentTime, previousTime;
int c = 0;
GButton B_Reset(5);
GButton B_FingerLeft(6);
GButton B_FingerRight(7);
unsigned int mpuTimer = 0;
unsigned int resetTimer = 0;
unsigned int leftClickTimer = 0;
unsigned int rightClickTimer = 0;
bool isLeftHolded = 0;
bool isRightHolded = 0;

void setup() {
```

```

Serial.begin(9600);
BTserial.begin(9600);
Wire.begin();           // Initialize communication
Wire.beginTransmission(MPU); // Start communication with MPU6050 // MPU=0x68
Wire.write(0x6B);       // Talk to the register 6B
Wire.write(0x00);       // Make reset - place a 0 into the 6B register
Wire.endTransmission(true); //end the transmission

// get the IMU error values for your module
calculate_IMU_error();
delay(20);
mpuTimer = resetTimer = leftClickTimer = rightClickTimer = millis();
B_FingerLeft.setTimeout(100);
B_FingerRight.setTimeout(100);
}
void loop() {
  B_Reset.tick();
  B_FingerLeft.tick();
  B_FingerRight.tick();

  RightClickHandler();
  LeftClickHandler();
  ResetButtonHandler();

  if(millis() - mpuTimer > 30){
    mpuTimer = millis();
    SendMPU6050Data();
  }
}

void RightClickHandler(){
  if(B_FingerRight.isHold()){
    isRightHolded = 1;

```

```
    }  
    else{  
        isRightHolded = 0;  
    }  
}  
  
void LeftClickHandler(){  
    if(B_FingerLeft.isHold()){  
        isLeftHolded = 1;  
    }  
    else{  
        isLeftHolded = 0;  
    }  
}  
  
void ResetButtonHandler(){  
    if(B_Reset.isPress()){  
        Wire.begin();  
        Wire.beginTransmission(MPU);  
        Wire.write(0x6B);  
        Wire.write(0x00);  
        Wire.endTransmission(true);  
        accAngleX = 0;  
        accAngleY = 0;  
        gyroAngleX = 0;  
        gyroAngleY = 0;  
        gyroAngleZ = 0;  
        yaw =0;  
        Serial.println("Reset");  
        return;  
    }  
}  
  
void SendMPU6050Data(){  
    // === Read acceleromter data === //
```

```

Wire.beginTransmission(MPU);
Wire.write(0x3B); // Start with register 0x3B (ACCEL_XOUT_H)
Wire.endTransmission(false);
Wire.requestFrom(MPU, 6, true); // Read 6 registers total, each axis value is stored in 2 registers

//For a range of +-2g, we need to divide the raw values by 16384, according to the datasheet
AccX = (Wire.read() << 8 | Wire.read()) / 16384.0; // X-axis value
AccY = (Wire.read() << 8 | Wire.read()) / 16384.0; // Y-axis value
AccZ = (Wire.read() << 8 | Wire.read()) / 16384.0; // Z-axis value

// Calculating Roll and Pitch from the accelerometer data
accAngleX = (atan(AccY / sqrt(pow(AccX, 2) + pow(AccZ, 2))) * 180 / PI) - AccErrorX; // AccErrorX ~(0.58) See the
calculate_IMU_error()custom function for more details
accAngleY = (atan(-1 * AccX / sqrt(pow(AccY, 2) + pow(AccZ, 2))) * 180 / PI) - AccErrorY; // AccErrorY ~(-1.58)

// === Read gyroscope data === //
previousTime = currentTime; // Previous time is stored before the actual time read
currentTime = millis(); // Current time actual time read
elapsedTime = (currentTime - previousTime) / 1000; // Divide by 1000 to get seconds
Wire.beginTransmission(MPU);
Wire.write(0x43); // Gyro data first register address 0x43
Wire.endTransmission(false);
Wire.requestFrom(MPU, 6, true); // Read 4 registers total, each axis value is stored in 2 registers
GyroX = (Wire.read() << 8 | Wire.read()) / 131.0; // For a 250deg/s range we have to divide first the raw value by
131.0, according to the datasheet
GyroY = (Wire.read() << 8 | Wire.read()) / 131.0;
GyroZ = (Wire.read() << 8 | Wire.read()) / 131.0;

// Correct the outputs with the calculated error values
GyroX = GyroX - GyroErrorX;
GyroY = GyroY - GyroErrorY;
GyroZ = GyroZ - GyroErrorZ;

// Currently the raw values are in degrees per seconds, deg/s
gyroAngleX = gyroAngleX + GyroX * elapsedTime; // deg/s * s = deg
gyroAngleY = gyroAngleY + GyroY * elapsedTime;
yaw = yaw + GyroZ * elapsedTime;

```

```

// Complementary filter - combine accelerometer and gyro angle values
roll = 0.96 * gyroAngleX + 0.04 * accAngleX;
pitch = 0.96 * gyroAngleY + 0.04 * accAngleY;
Serial.println((String)roll + "/" + pitch + "/" + yaw );
BTserial.println((String)roll + " " + pitch + " " + yaw + " " + isLeftHoled + " " + isRightHoled);
}

void calculate_IMU_error() {
  while (c < 200) {
    Wire.beginTransmission(MPU);
    Wire.write(0x3B);
    Wire.endTransmission(false);
    Wire.requestFrom(MPU, 6, true);
    AccX = (Wire.read() << 8 | Wire.read()) / 16384.0 ;
    AccY = (Wire.read() << 8 | Wire.read()) / 16384.0 ;
    AccZ = (Wire.read() << 8 | Wire.read()) / 16384.0 ;
    // Sum all readings
    AccErrorX = AccErrorX + ((atan((AccY) / sqrt(pow((AccX), 2) + pow((AccZ), 2))) * 180 / PI));
    AccErrorY = AccErrorY + ((atan(-1 * (AccX) / sqrt(pow((AccY), 2) + pow((AccZ), 2))) * 180 / PI));
    c++;
  }
  AccErrorX = AccErrorX / 200;
  AccErrorY = AccErrorY / 200;
  c = 0;
  // Read gyro values 200 times
  while (c < 200) {
    Wire.beginTransmission(MPU);
    Wire.write(0x43);
    Wire.endTransmission(false);
    Wire.requestFrom(MPU, 6, true);
    GyroX = Wire.read() << 8 | Wire.read();
    GyroY = Wire.read() << 8 | Wire.read();
    GyroZ = Wire.read() << 8 | Wire.read();
  }
}

```

```
// Sum all readings
GyroErrorX = GyroErrorX + (GyroX / 131.0);
GyroErrorY = GyroErrorY + (GyroY / 131.0);
GyroErrorZ = GyroErrorZ + (GyroZ / 131.0);
c++;
}
//Divide the sum by 200 to get the error value
GyroErrorX = GyroErrorX / 200;
GyroErrorY = GyroErrorY / 200;
GyroErrorZ = GyroErrorZ / 200;
// Print the error values on the Serial Monitor
Serial.print("AccErrorX: ");
Serial.println(AccErrorX);
Serial.print("AccErrorY: ");
Serial.println(AccErrorY);
Serial.print("GyroErrorX: ");
Serial.println(GyroErrorX);
Serial.print("GyroErrorY: ");
Serial.println(GyroErrorY);
Serial.print("GyroErrorZ: ");
Serial.println(GyroErrorZ);
}
```

## ДОДАТОК Б

### Програмна реалізація комп'ютерного додатку

```
public partial class MainForm : Form
{
    private SerialPort _serialPort;
    private Point _cursorPosition;
    private Thread _readThread;
    public MainForm()
    {
        InitializeComponent();
    }
    private void Form_Load(object sender, EventArgs e)
    {
        RefreshSerialPorts();
        _readThread = new Thread(Test);
        _readThread.Start();
    }
    private void t_Refresh_Tick(object sender, EventArgs e)
    {
        pb_Canvas.Refresh();
    }
    private void pb_Canvas_Paint(object sender, PaintEventArgs e)
    {
        e.Graphics.DrawEllipse(Pens.Brown, _cursorPosition.X, _cursorPosition.Y, 10, 10);
        e.Graphics.FillEllipse(Brushes.Brown, _cursorPosition.X, _cursorPosition.Y, 10, 10);
    }

    private void MainFormClosed(object sender, FormClosedEventArgs e)
    {
        _serialPort?.Dispose();
    }
}
```

```
private void pb_Canvas_MouseMove(object sender, MouseEventArgs e)
{
    _cursorPosition = e.Location;
}
private void tb_Distance_Scroll(object sender, EventArgs e)
{
    nud_Distance.Value = tb_Distance.Value;
}
private void nud_Distance_ValueChanged(object sender, EventArgs e)
{
    tb_Distance.Value = (int) nud_Distance.Value;
}
private void b_Connect_Click(object sender, EventArgs e)
{
    const string connectText = "Connect";
    const string disconnectText = "Disconnect";

    if (b_Connect.Text.Equals(connectText))
    {
        SerialPortInit();
        b_Connect.Text = disconnectText;
    }
    else
    {
        _serialPort?.Dispose();
        b_Connect.Text = connectText;
    }
}
private void cb_SerialPort_DropDown(object sender, EventArgs e)
{
    RefreshSerialPorts();
}
```

```
private void SerialPortInit()
{
    var portName = (string) cb_SerialPort.SelectedItem;
    //ToDo: verify long work period (stop work after period of time near 5 min)

    var port = new SerialPort
    {
        PortName = portName,
        BaudRate = 9600,
        Parity = Parity.None,
        DataBits = 8,
        StopBits = StopBits.One,
        Handshake = Handshake.None,
    };
    try
    {
        port.Open();
    }
    catch (Exception ex)
    {
        MessageBox.Show(ex.ToString());
        return;
    }
    _readThread = new Thread(ReadPortOnDataReceived);
    _readThread.Start(port);
    _serialPort = port;
}

private void ReadPortOnDataReceived(object portObject)
{
    var serialPort = portObject as SerialPort;
    if (serialPort is null)
    {
        MessageBox.Show("PortObject must be a SerialPort class object");
    }
}
```

```

    throw new ArgumentException("PortObject must be a SerialPort class object");
}
var mouseService = new MouseService();
var sw = new Stopwatch();
while (serialPort.IsOpen)
{
    sw.Restart();
    var bluetoothDto = _serialPort.ReadControllerData();
    if (bluetoothDto is null)
    {
        continue;
    }
    var coordinate = bluetoothDto.Angles.ToCoordinate((int) nud_Distance.Value);
    mouseService.MoveAndClick(new MouseCommandModel(
        coordinate,
        bluetoothDto.LeftButtonState == 1,
        bluetoothDto.RightButtonState == 1));
    sw.Stop();
    Console.WriteLine($"{sw.ElapsedMilliseconds}");
}
}
private void RefreshSerialPorts()
{
    var ports = SerialPort.GetPortNames().OrderBy(p => p).ToArray();
    if (!ports.Any())
    {
        MessageBox.Show("There is no serial ports to show. Pair Arduino controller by Bluetooth");
        throw new ArgumentException("There is no serial ports to show");
    }
    var selectedItem = cb_SerialPort.SelectedItem as string;
    cb_SerialPort.Items.Clear();
    cb_SerialPort.Items.AddRange(ports);
}

```

```

cb_SerialPort.SelectedItem = selectedItem != null && ports.Contains(selectedItem)
    ? selectedItem
    : cb_SerialPort.Items[0];
}
private void Test()
{
    var mouseService = new MouseService();
    for (var i = 0; i < 10; i++)
    {
        var x = 1000 + 50 * i;
        var mouseCommand = new MouseCommandModel(new Point(x, 0), false, false);
        mouseService.MoveAndClick(mouseCommand);
        Console.WriteLine(x);
        Thread.Sleep(1000);
    }
}
}
public class MouseService
{
    private bool IsLeftMouseButtonPressed { get; set; }
    private bool IsRightMouseButtonPressed { get; set; }
    public void MoveAndClick(MouseCommandModel command)
    {
        var screenSize = Screen.PrimaryScreen.Bounds.Size;
        var center = new Point(screenSize.Width / 2, screenSize.Height / 2);
        var x = center.X + command.MousePosition.X;
        var y = center.Y + command.MousePosition.Y;
        Cursor.Position = new Point(x, y);
        //press if released
        if (IsLeftMouseButtonPressed != command.PressLeftButton)
        {
            var mouseEvent = command.PressLeftButton ? MouseFlags.LeftDown : MouseFlags.LeftUp;

```

```

MakeMouseEvent(mouseEvent);
IsLeftMouseButtonPressed = !IsLeftMouseButtonPressed;
var action = mouseEvent == MouseFlags.LeftDown ? "Pressed" : "Released";
Console.WriteLine($"Left {action}");
}

if (IsRightMouseButtonPressed != command.PressRightButton)
{
var mouseEvent = command.PressRightButton ? MouseFlags.RightDown : MouseFlags.RightUp;
MakeMouseEvent(mouseEvent);
IsRightMouseButtonPressed = !IsRightMouseButtonPressed;
var action = mouseEvent == MouseFlags.LeftDown ? "Pressed" : "Released";
Console.WriteLine($"Right {action}");
}
}

[DllImport("User32.dll")]
private static extern void mouse_event(MouseFlags dwFlags, int dx, int dy, int dwData, UIntPtr dwExtraInfo);

[Flags]
enum MouseFlags
{
Move = 0x0001,
LeftDown = 0x0002,
LeftUp = 0x0004,
RightDown = 0x0008,
RightUp = 0x0010,
Absolute = 0x8000,
MiddleDown = 0x0020,
MiddleUp = 0x0040,
XDown = 0x0080,
XUp = 0x0100,
Wheel = 0x0800,
HWheel = 0x01000, // Horizontal wheel

```

```
}  
private static void MakeMouseEvent(MouseFlags mouseEvent)  
{  
    mouse_event(mouseEvent, Cursor.Position.X, Cursor.Position.Y, 0, UIntPtr.Zero);  
}  
}  
public class BluetoothDto  
{  
    public EulerAngles Angles { get; }  
    public int LeftButtonState { get; }  
    public int RightButtonState { get; }  
  
    public BluetoothDto(EulerAngles angles, int leftButtonState, int rightButtonState)  
    {  
        Angles = angles;  
        LeftButtonState = leftButtonState;  
        RightButtonState = rightButtonState;  
    }  
}  
public struct EulerAngles  
{  
    public float X; // Roll  
    public float Y; // Pitch  
    public float Z; // Yaw  
  
    public EulerAngles(float x, float y, float z)  
    {  
        X = x;  
        Y = y;  
        Z = z;  
    }  
}
```

```

public class MouseCommandModel
{
    public Point MousePosition { get; }
    public bool PressLeftButton { get; }
    public bool PressRightButton { get; }
    public MouseCommandModel(Point mousePosition, bool pressLeftButton, bool pressRightButton)
    {
        MousePosition = mousePosition;
        PressLeftButton = pressLeftButton;
        PressRightButton = pressRightButton;
    }
}

public static class EulerAnglesExtensions
{
    /// <summary>
    /// Get x,y coordinates of ray point projection on the screen
    /// </summary>
    /// <param name="angles"> Euler Angles</param>
    /// <param name="h"> DistanceToScreen</param>
    /// <returns></returns>
    public static Point ToCoordinate(this EulerAngles angles, float h)
    {
        var xProjection = GetProjection(angles.X, h);
        var yProjection = GetProjection(angles.Y, h);

        var x = xProjection * GetSign(angles.X);
        var y = yProjection * GetSign(angles.Y);
        return new Point((int) x, (int) y);
    }
    private static double GetProjection(float angel, float h)
    {
        var absAngle = Math.Abs(angel);

```

```

var sinAlfa = Math.Sin(GetRadian(absAngle));
var sinBeta = Math.Sin(GetRadian(90 - absAngle)); // 180 - 90 - angle
return sinAlfa * h / sinBeta;
}
private static int GetSign(float angle) => angle > 0 ? 1 : -1;
private static double GetRadian(double degrees) => Math.PI * degrees / 180.0;
}
public static class SerialPortExtensions
{
public static BluetoothDto ReadControllerData(this SerialPort port)
{
var data = port.ReadLine().Trim('\r');
if (string.IsNullOrEmpty(data))
{
return null;
}
//validation: is all params given
var readParams = data.Split(' ', StringSplitOptions.RemoveEmptyEntries);
if (readParams.Length != 5 ||
!float.TryParse(readParams[0].Replace('.', ','), out var x) ||
!float.TryParse(readParams[1].Replace('.', ','), out var y) ||
!float.TryParse(readParams[2].Replace('.', ','), out var z) ||
!int.TryParse(readParams[3], out var isLeftHoleded) ||
!int.TryParse(readParams[4], out var isRightHoleded))
{
return null;
}
// invert param to prevent axis inversion
return new BluetoothDto(new EulerAngles(-x, y, -z), isLeftHoleded, isRightHoleded);
}
}
}

```

## ДОДАТОК В Графічний матеріал

ХАРКІВСЬКИЙ НАЦІОНАЛЬНИЙ  
УНІВЕРСИТЕТ РАДІОЕЛЕКТРОНІКИ

Факультет Комп'ютерної інженерії та управління.  
Кафедра АПОТ

Атестаційна робота магістра

**БЕЗДРОТОВИЙ КОНТРОЛЕР ДЛЯ  
КЕРУВАННЯ ОБЧИСЛЮВАЛЬНИМ  
ПРИСТРОЄМ**

Студент гр. СКСм-20-2 Комаровський Володимир Едуардович  
Керівник: Литвинова Євгенія Іванівна



### Мета та задачі проекту

Метою дослідження є зменшення вартості бездротового контролера за рахунок використання модуля MPU6050 та здійснення керування за допомогою плати Arduino.

Для досягнення поставленої мети були вирішені наступні задачі:

- обрати модулі для апаратної реалізації атестаційної роботи;
- обрати мову та середовище програмування згідно до обраних апаратних модулів;
- створити схему макету;
- розробити програмне забезпечення для керування системою;
- розробити програмне забезпечення для обчислювального пристрою;
- зібрати макет атестаційної роботи, прошити плату та перевірити працездатність системи.

## Актуальність

З розвитком нових технологій виникає все більше галузей, які мають не стандартний тип інтерфейсу порівняно з персональним комп'ютером, тому виникає потреба у нових видах контролерів для роботи з такими обчислювальними пристроями.



Комаровський В.Е., ст. гр. СКСм-20-2, каф. АПОТ, 2022

## Переваги

До головних переваг можна віднести:

- ціна;
- портативність;
- відкритий програмний код;
- зручність в обслуговуванні;
- зручність в оновленні кодової прошивки.



Комаровський В.Е., ст. гр. СКСм-20-2, каф. АПОТ, 2022

## Затребуваність

За деякими даними частина VR у секторі розваг стрімко зростає останнім часом. За перший квартал 2021 року цей ріст становить 52.4%.

За даними загально відомої ігрової платформи Steam понад 2% користувачів використовують VR технології. При заявлених 120 млн активних користувачів на місяць 2% становлять приблизно 2,4 млн.

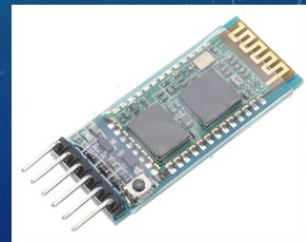


Комаровський В.Е., ст. гр. СКСМ-20-2, каф. АПОТ, 2022

## Вибір апаратних модулів

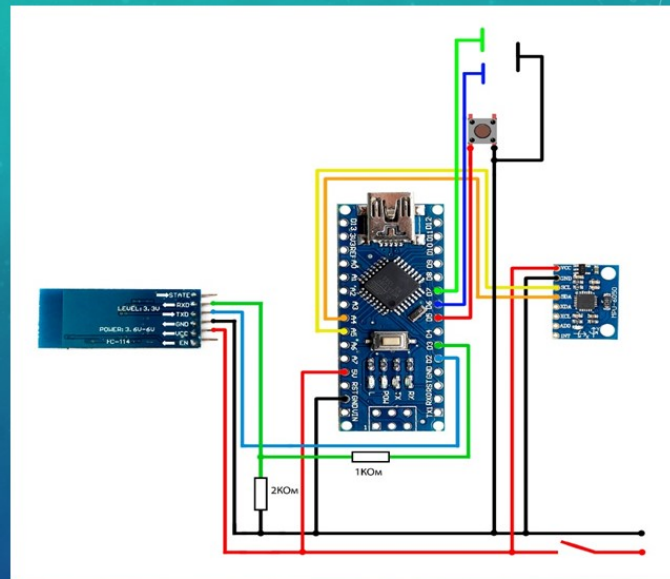
Розроблений макет атестаційної роботи повинен відповідати наступним вимогам:

- надійність;
- з'єднуватись з обчислювальним пристроєм за допомогою технології Bluetooth;
- можливість швидко та легко змінювати прошивку приладу;
- невеликі витрати електроенергії;
- компактність – в результаті прилад не повинен мати великих габаритів;
- мобільність – кінцева розробка з легкістю переміщується.



Комаровський В.Е., ст. гр. СКСМ-20-2, каф. АПОТ, 2022

## Схема макету атестаційної роботи



Комаровський В.Е., ст. гр. СКСм-20-2, каф. АПОТ, 2022

## Програмна реалізація



Arduino IDE



- проста у використанні;
- підсвічування коду;
- безкоштовна;
- має вбудований програматор;
- має багато корисних для розробки вбудованих функцій;
- оптимізована для роботи з платами Arduino.
- синтаксис мови візуально зрозумілий та читабельний;
- велика кількість програмних засобів та бібліотек;
- компілятор даної мови реалізований практично для всіх моделей мікроконтролерів;
- швидке виконання інструкцій.

Комаровський В.Е., ст. гр. СКСм-20-2, каф. АПОТ, 2022

## Програмна реалізація



### JetBrains Rider



- проста у використанні;
- IntelliSense;
- має студентську ліцензію;
- має вбудовані інструменти дебагінгу коду;
- має багато корисних для розробки вбудованих функцій;
- оптимізована для роботи з .Net платформою.
- синтаксис мови візуально зрозумілий та читабельний;
- велика кількість програмних засобів та nuget-пакетів;
- підтримка ООП;
- швидке виконання інструкцій;
- підтримує програмування для багатьох платформ.

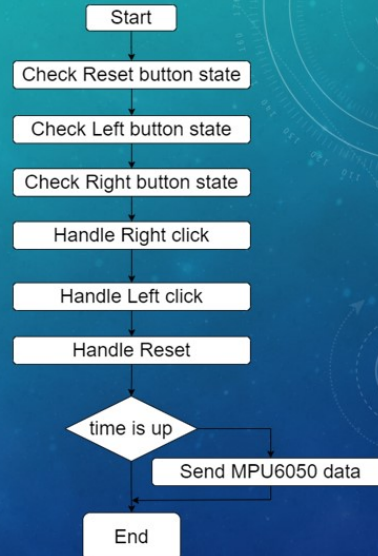
Комаровський В.Е., ст. гр. СКСМ-20-2, каф. АПОТ, 2022

## Алгоритм одного циклу роботи системи керування світлодіодами

```
void loop() {
  B_Reset.tick();
  B_FingerLeft.tick();
  B_FingerRight.tick();

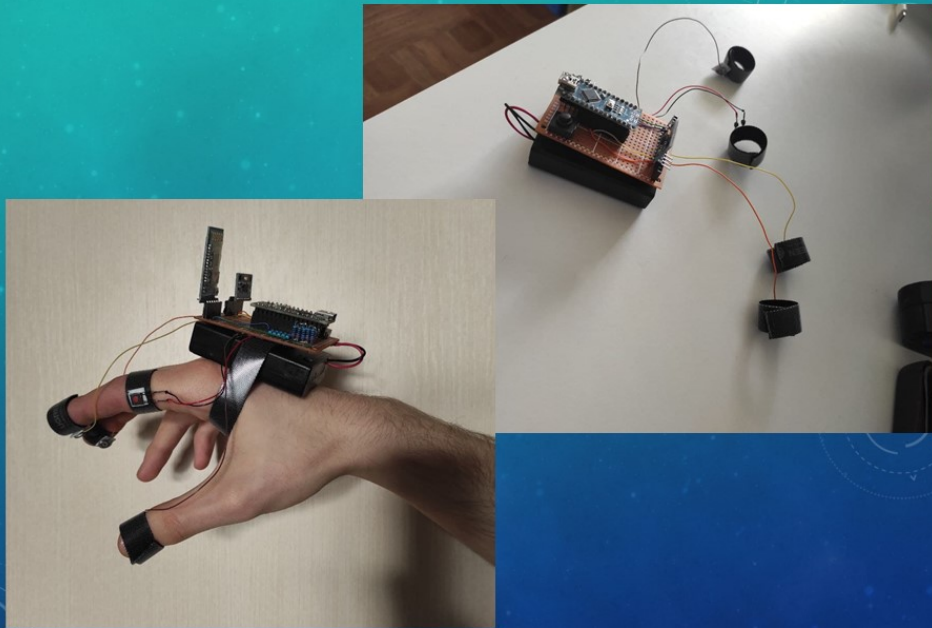
  RightClickHandler();
  LeftClickHandler();
  ResetButtonHandler();

  if(millis() - mpuTimer > 30){
    mpuTimer = millis();
    SendMPU6050Data();
  }
}
```



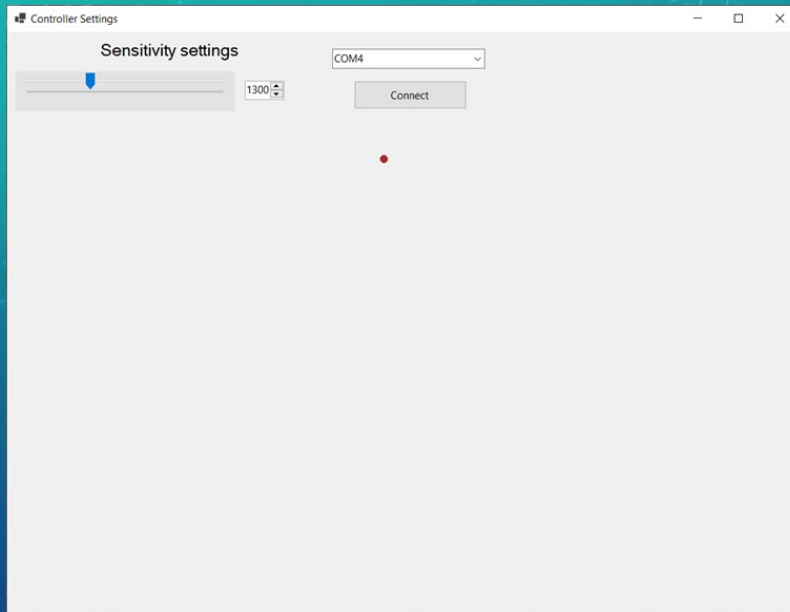
Комаровський В.Е., ст. гр. СКСМ-20-2, каф. АПОТ, 2022

### Фото розробленого пристрою



Комаровський В.Е., ст. гр. СКСм-20-2, каф. АПОТ, 2022

### Фото розробленого комп'ютерного додатку



Комаровський В.Е., ст. гр. СКСм-20-2, каф. АПОТ, 2022

## Переваги серед конкурентів

- відкритий програмний код;
- зручна архітектура для оновлення програмного забезпечення апаратної частини;
- архітектура оптимізована для заміни модулів та зручності ремонту;
- менша ціна;
- використана Bluetooth технологія.



Комаровський В.Е., ст. гр. СКСм-20-2, каф. АПОТ, 2022

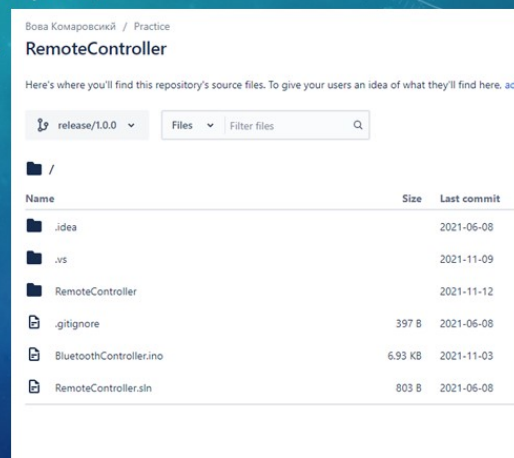
## Відкритий програмний код

Чому відкритий код це добре:

- часом користувачу просто хочеться мати можливість поглянути на код. Тобто не обов'язково навіть його мати, але щоб така можливість була. Це можуть бути параноїки безпеки у хорошому сенсі або просто борці за якісь права;

— користувач має можливість ввести редагування, навіть дуже серйозні;

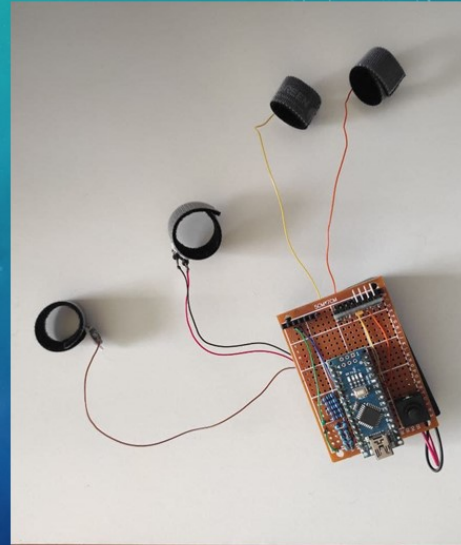
— є можливість побудувати спільноту розробників, які разом працюють над вдосконаленням продукту.



Комаровський В.Е., ст. гр. СКСм-20-2, каф. АПОТ, 2022

## Зручне оновлення програмного забезпечення апаратної частини

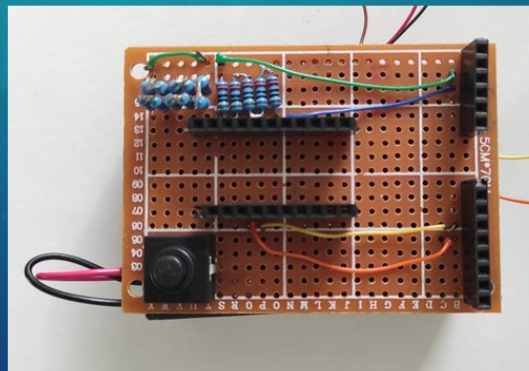
Маючи доступ до коду програмного забезпечення апаратної частини, необхідно мати можливість змінювати прошивку контролеру. Інакше не буде можливості вдосконалювати алгоритм роботи контролеру. Тому в розробленому проекті є відкритий доступ до Mini-USB порту Arduino Nano



Комаровський В.Е., ст. гр. СКСм-20-2, каф. АПОТ, 2022

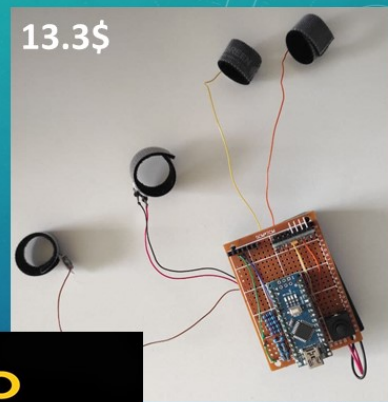
## Архітектура оптимізована для заміни модулів та зручності ремонту

Апаратна частина приладу розроблена з використанням штиркового роз'єму PBS-40. Він дозволяє з легкістю замінювати головні модулі приладу (Arduino Nano, MPU-6050 та HC-05) без необхідності розпаювати плату.



Комаровський В.Е., ст. гр. СКСм-20-2, каф. АПОТ, 2022

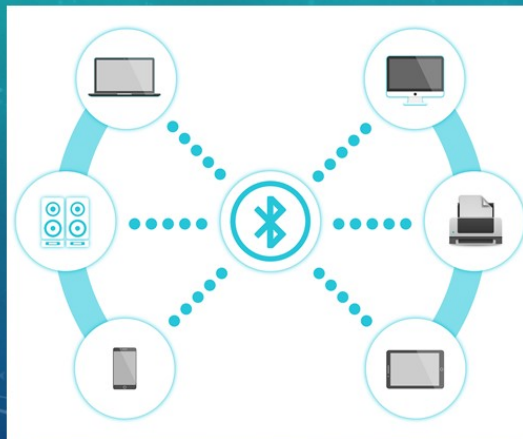
## Менша ціна



Комаровський В.Е., ст. гр. СКСм-20-2, каф. АПОТ, 2022

## Використана Bluetooth технологія

Найпопулярнішими технологіями бездротового зв'язку на цей час є Bluetooth та радіозв'язок. Головною перевагою Bluetooth є те, що він не потребує додаткового обладнання.



Комаровський В.Е., ст. гр. СКСм-20-2, каф. АПОТ, 2022

## Висновки

У ході виконання атестаційної роботи було досягнуто поставлену мету – був створений контролер, який запропонував новий зручний інтерфейс роботи з обчислювальним пристроєм та який є значно дешевшим за конкурентів за рахунок використання модулю MPU-6050, Bluetooth модулю HC-05 та плати керування Arduino NANO.

Розглянуто властивості та особливості роботи з модулем MPU-6050 та HC-05. Розроблено структуру системи керування обчислювальним пристроєм, алгоритм керування, обрані відповідні програмні та апаратні компоненти системи. Створено макет системи бездротового керування персональним комп'ютером у вигляді контролера, що керується платою Arduino Nano та кнопками.

